## 3 – ENSAIO DE TRAÇÃO







- Resistência Mecânica
- Ductilidade

### Emprego do Ensaio:

- Informações para Projetos
- Seleção de Materiais
- Controle de Qualidade
- Comparação e Desenvolvimento de Materiais

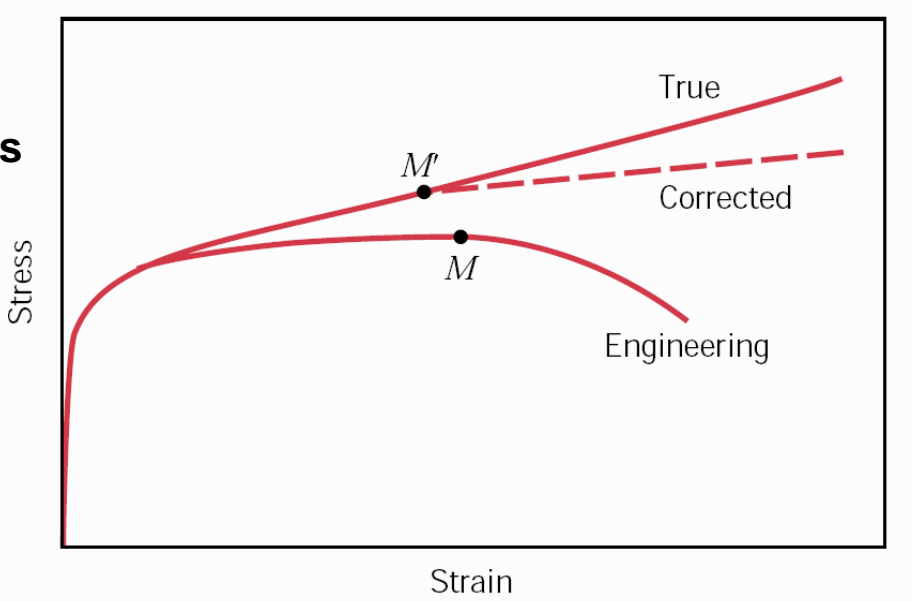
## Fatores para Escolha do Ensaio:

- Facilidade de Execução
- Reprodutividade dos Resultados



## NORMAS (alguns exemplos)

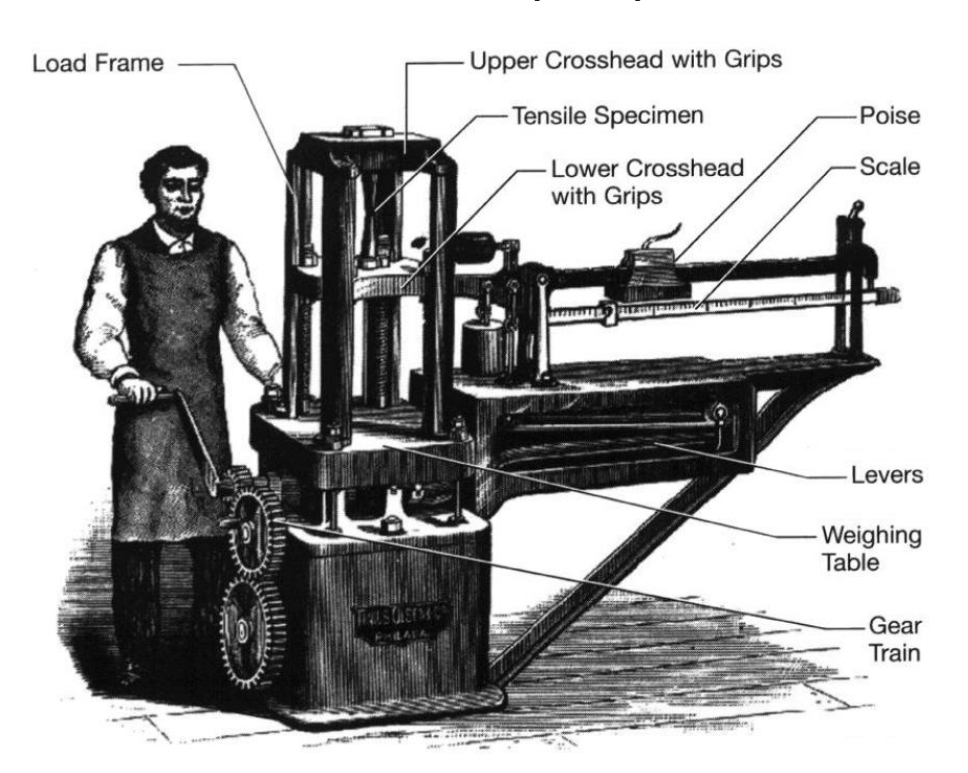
- ASTM E8m (metais)
- ASTM D638 (plásticos)
- ASTM C1293 (cerâmicas avançadas)
- ABNT NBR 6152 (cancelada)
- ABNT NBR ISO 6892-1

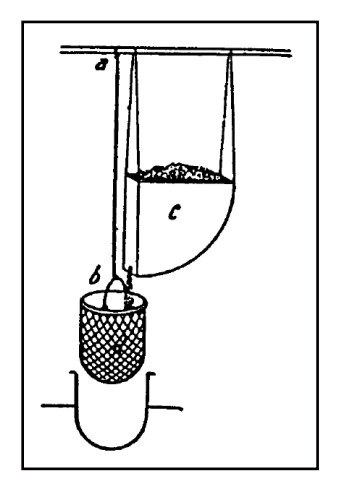


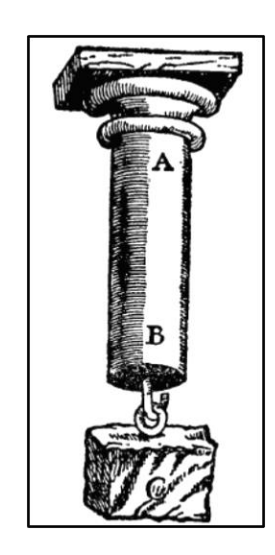
Curvas tensão-deformação obtidas por meio do ensaio de tração

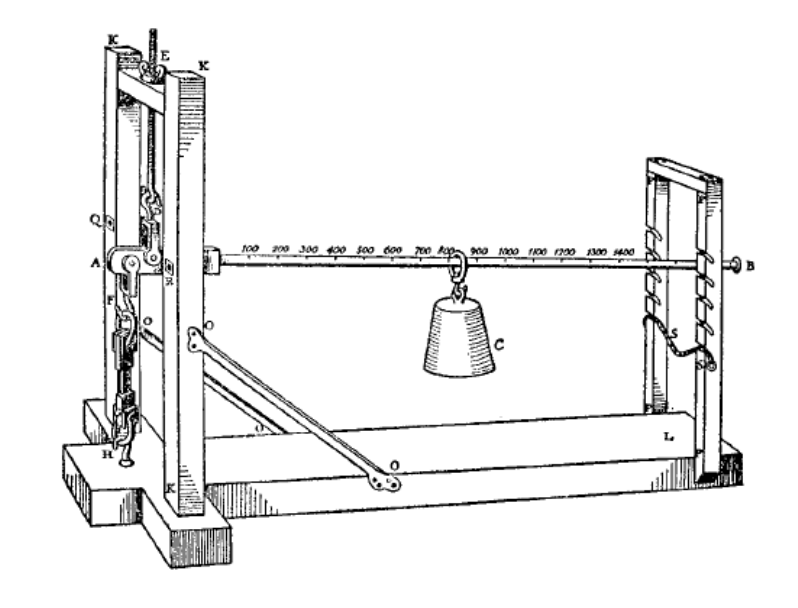
## **Histórico:**

- Mais antigo ensaio mecânico
- Leonardo da Vinci (arames)
- Galileu (1638)
- Robert Hooke (1678)
- Musschenbroek (1729)
- Kirkaldy (lab. ensaios, 1865)
- Tinius Olsen (1879)





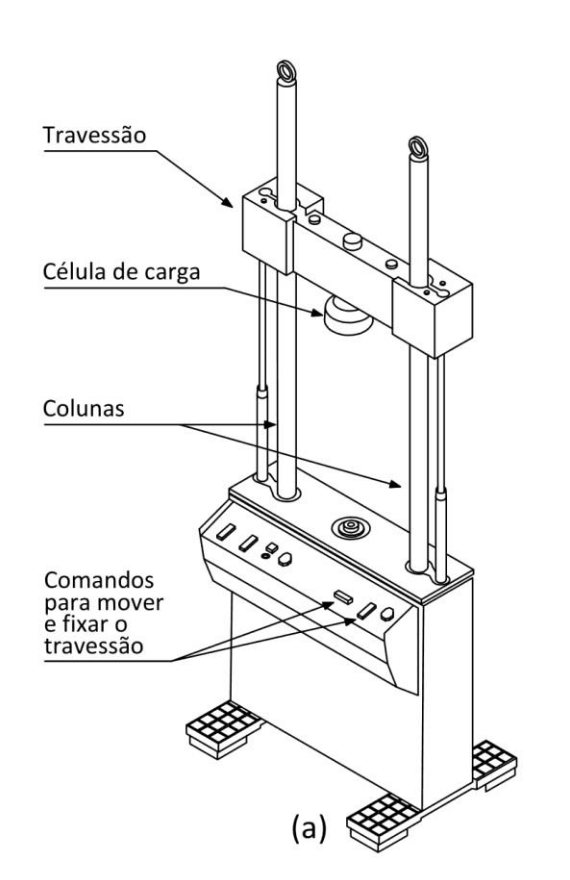


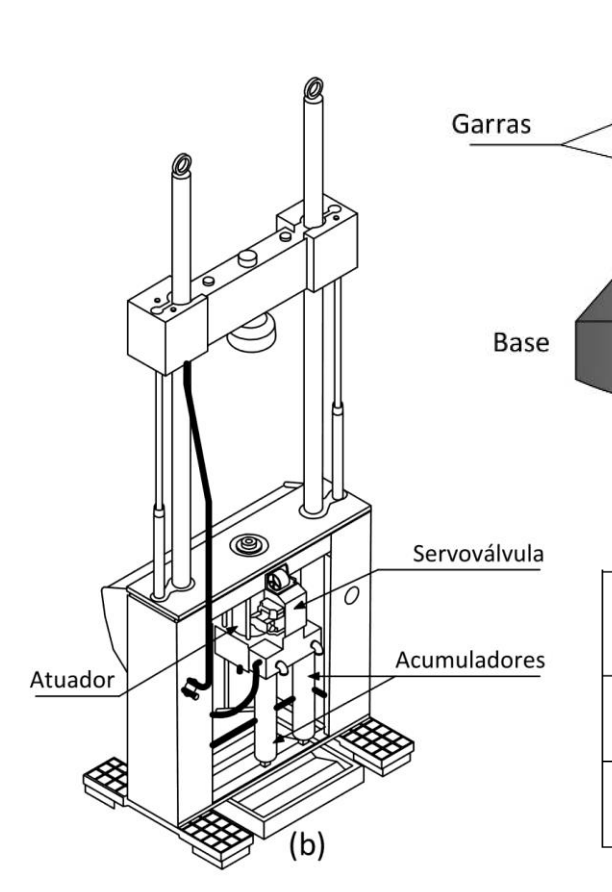


## v

## Máquinas de Ensaio:

- Eletromecânicas
- Servo-hidráulicas





Célula de carga

Tipo de Máquina	Cap. carga (kN)	Desloc. máx. (mm)
Eletromecânica	0,5 a 500	1.000
Servo-hidráulica	10 a 1.000	150

Travessão

Colunas

Fuso

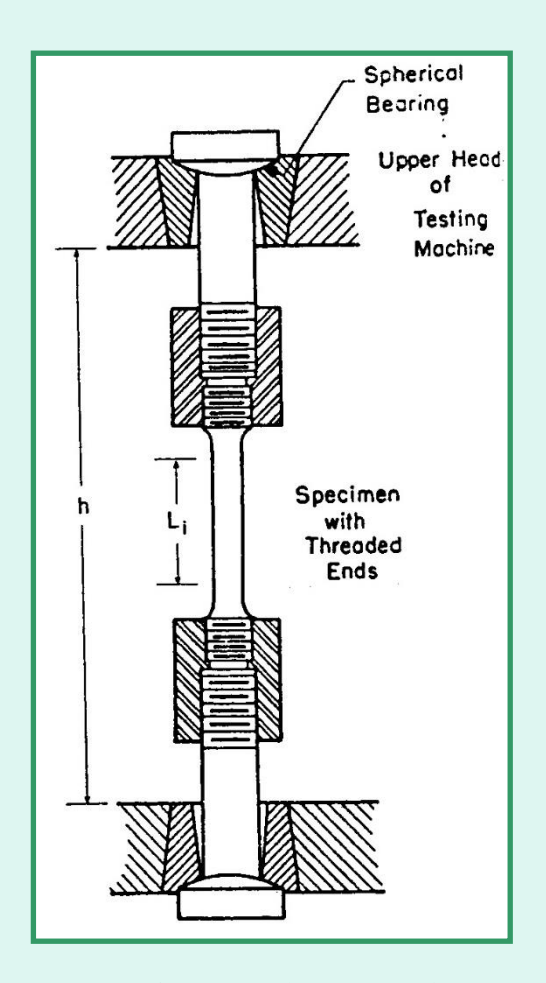


## Corpos de Prova:

- Formas e Dimensões Padronizadas
- Adequar à Origem do Material e à Máquina
- Localização e Comprimento
  - ✓ Placas, Chapas, Lâminas → Seção Retangular
  - ✓ Forjados, Fundidos, Grandes Espessuras,
    Forma Irregular → Seção Circular
  - ✓ Arame, Fio, Tubo → Segmento do Próprio Material
  - ✓ Barras Nervuradas → Deve-se Pesar a Barra



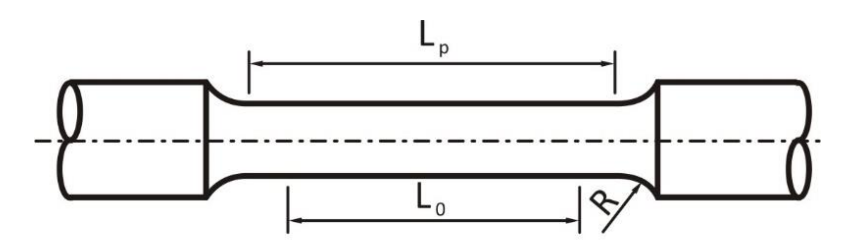




Garras para fixação de corpo-de-prova com extremidades rosqueadas

# ٧

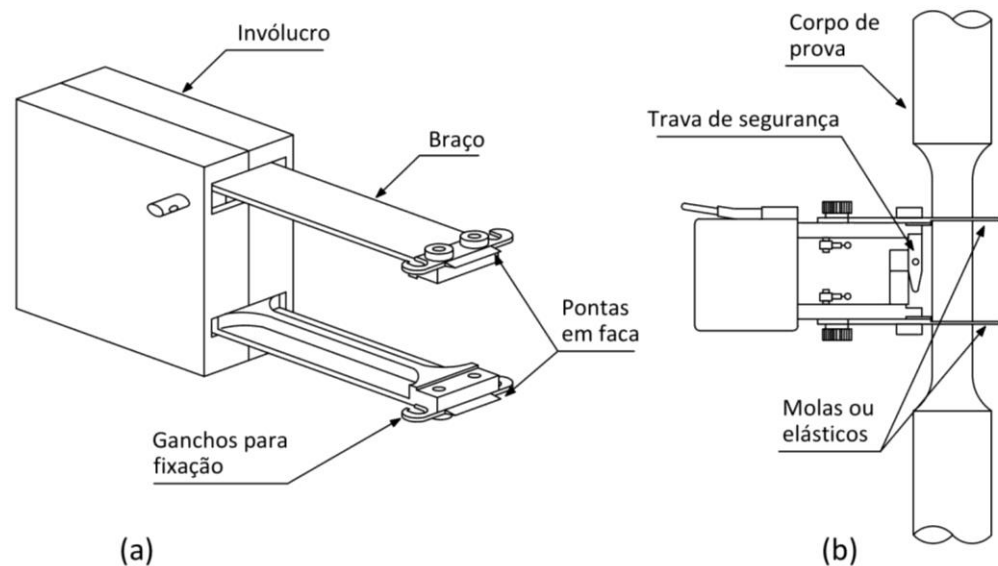
## Corpos de Prova:

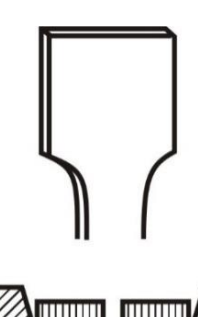


L<sub>p</sub>- Comprimento paralelo

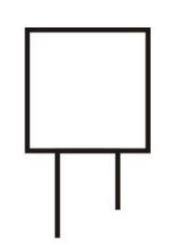
L<sub>o</sub>- Comprimento de medida inicial

R - Raio de transição



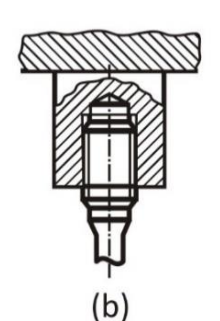


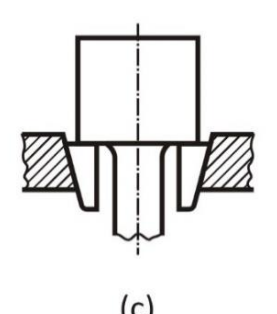














Alguns tipos de garras

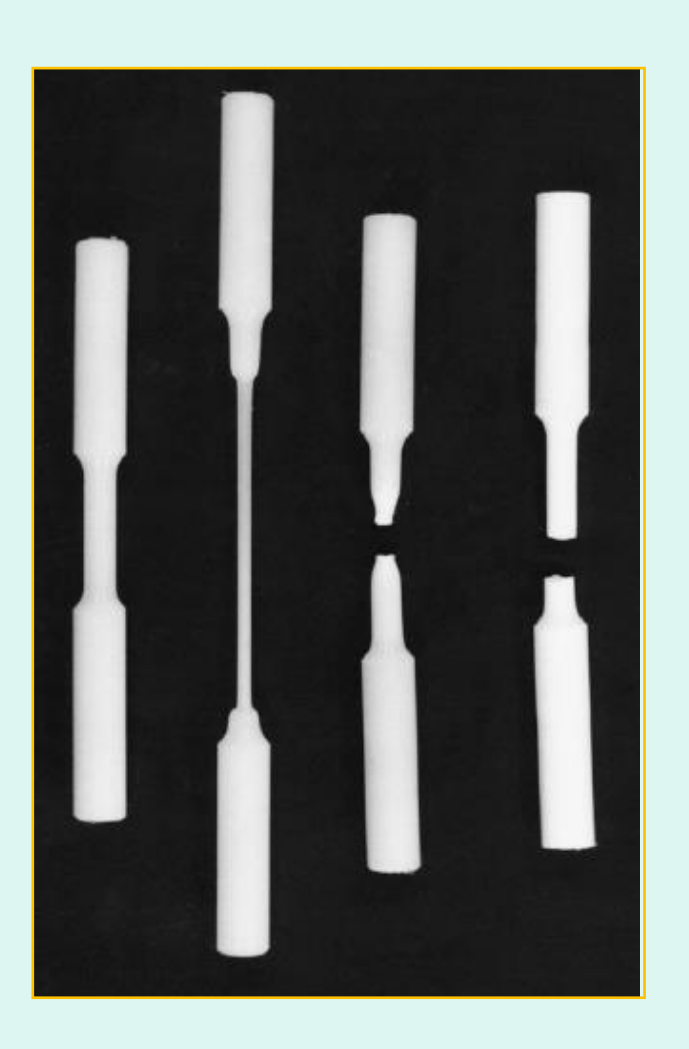
## М

## Corpos de Prova após Ensaio:





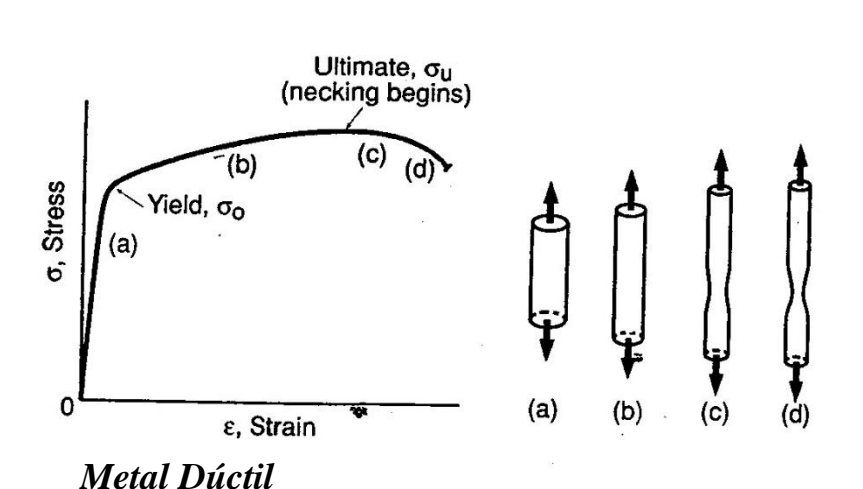
Dúctil e Frágil



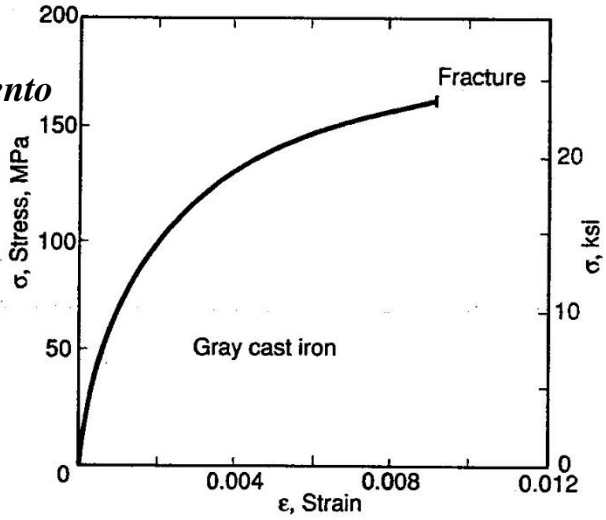
Ferro fundido cinzento, liga Al 7075, Aço 1020

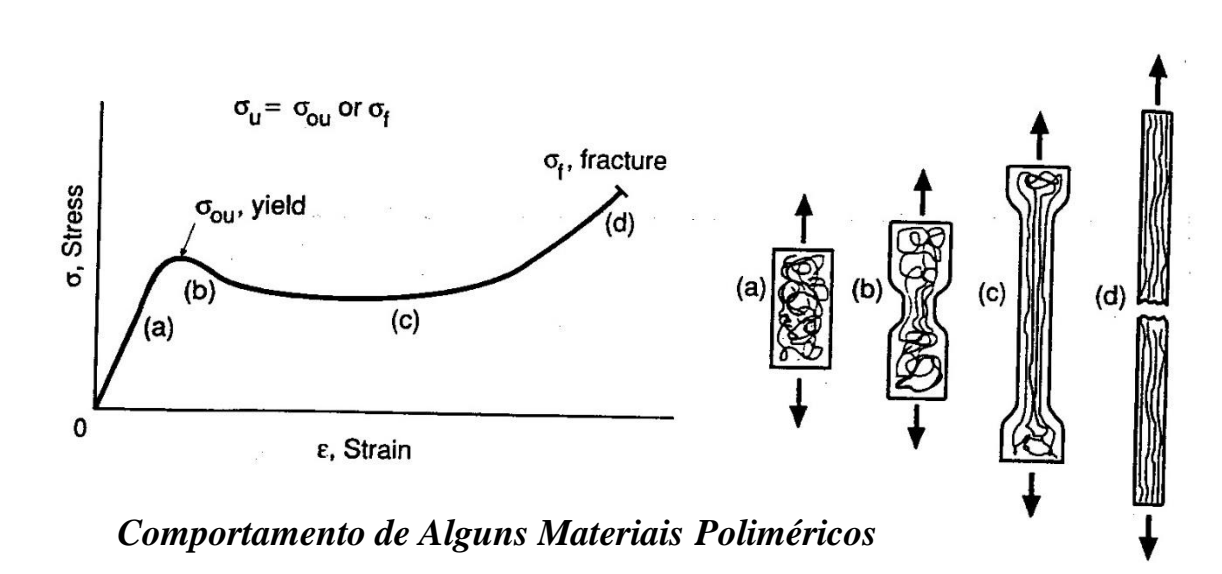
Polietileno (HDPE), Nylon, Teflon (PTFE)

## Curvas Tensão-Deformação Típicas:



Ferro Fundido Cinzento







### **Algumas Propriedades Calculadas:**

Categoria	Engenharia	Verdadeira
Constantes	Módulo de Young,	
Elásticas	Módulo Tangente,	
	Relação de Poisson	
Resistência	Limite deEscoamento,	Tensão Real de
	Limite de Resistência,	Fratura, Coeficiente de
	Tensão de Fratura	Resistência
Ductilidade	Alongamento, Redução	Deformação Real de
	de Área	Fratura
Energia	Resiliência,	
	Tenacidade	
Encruamento	Razão de Encruamento	Expoente de
		Encruamento



- Preparação e Medição dos Corpos-de-Prova
- Capacidade e Precisão dos Sensores
- Alinhamento da Máquina e das Amostras



#### ✓ Velocidade do Ensaio:

- Taxa de Deformação do Corpo-de-Prova
- Taxa de Tensionamento do Corpo-de-Prova
- Velocidade de Deslocamento do Atuador

#### Regras Gerais (ASTM E8):

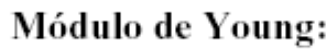
- Escoamento: 1,15 ≤ v ≤ 11,5 MPa/seg
- Resistência:  $0.05 \le v \le 0.5 \text{ (mm/mm)/min}$

Obs.: Risco ao executar o ensaio com controle de carga e tentar manter a taxa de tensionamento após o início do escoamento.



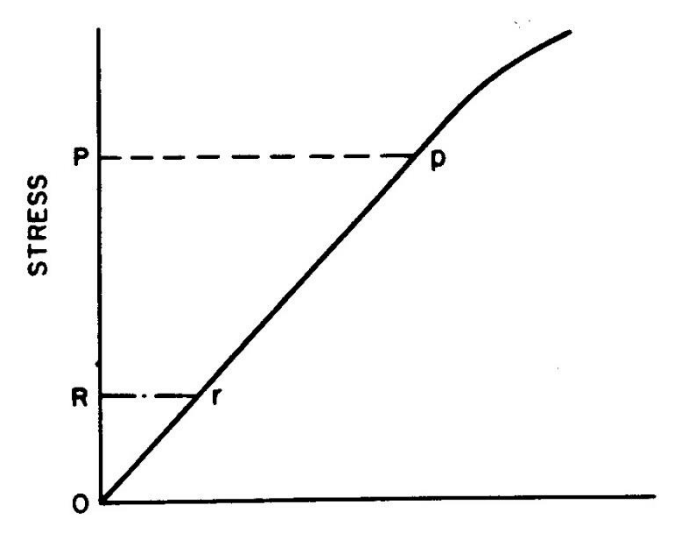


- Módulo de Young E
- Métodos da Tangente e da Corda
- Erros: Folgas, Alinhamento, Curvatura
- Adotar Área Média (mínimo 3 pontos)

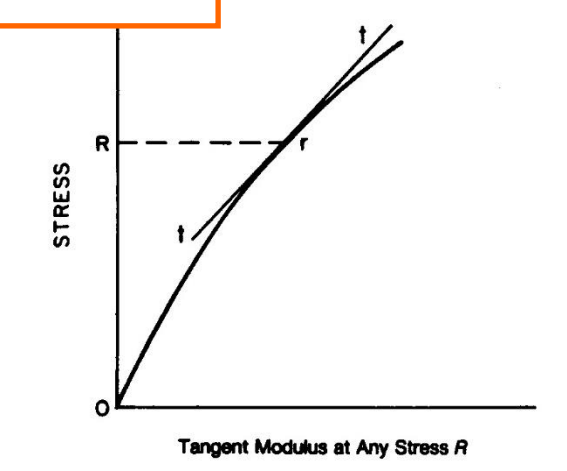


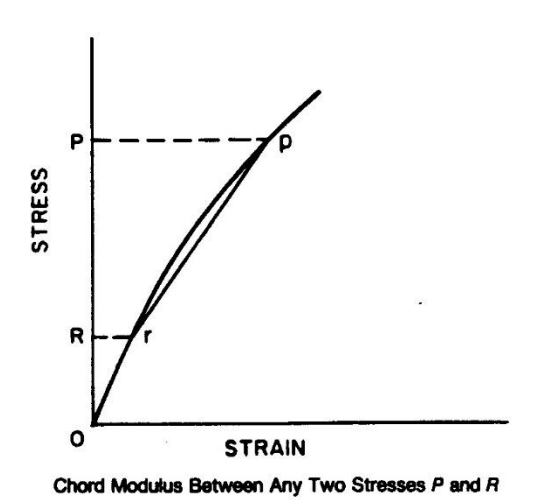
- Coeficiente de Correlação R<sup>2</sup> ≈ 1
- Coeficiente de Variação C<sub>v</sub> ≤ 2%

Obs.: 
$$C_v = 100 \sqrt{\frac{\left(1/R^2\right) - 1}{k - 2}}$$
 onde  $k \notin o$  número de pontos



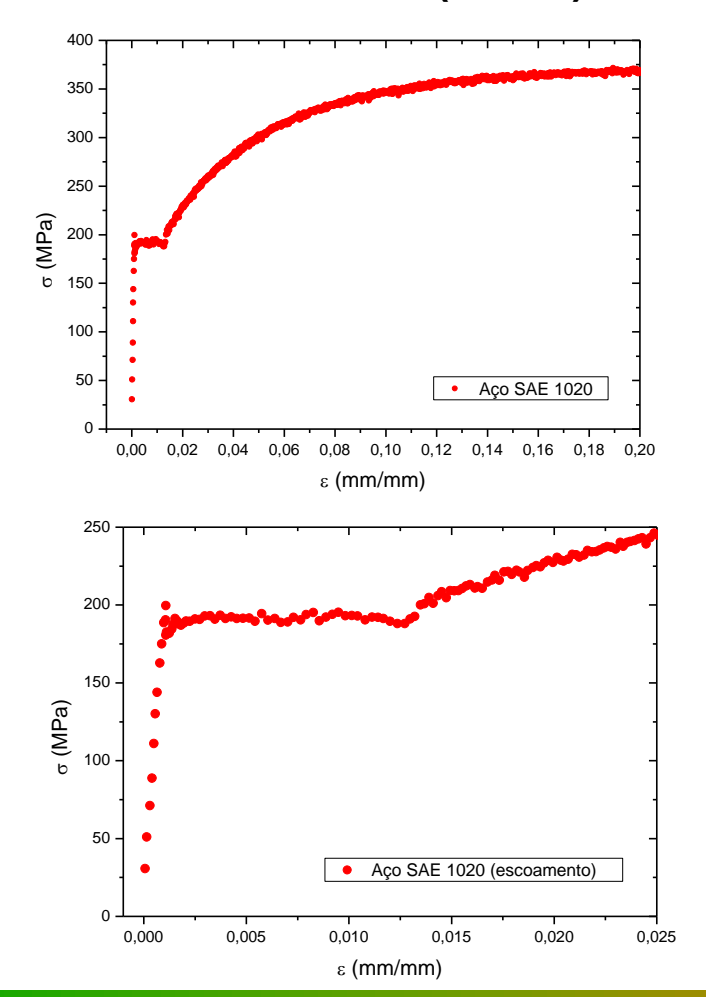


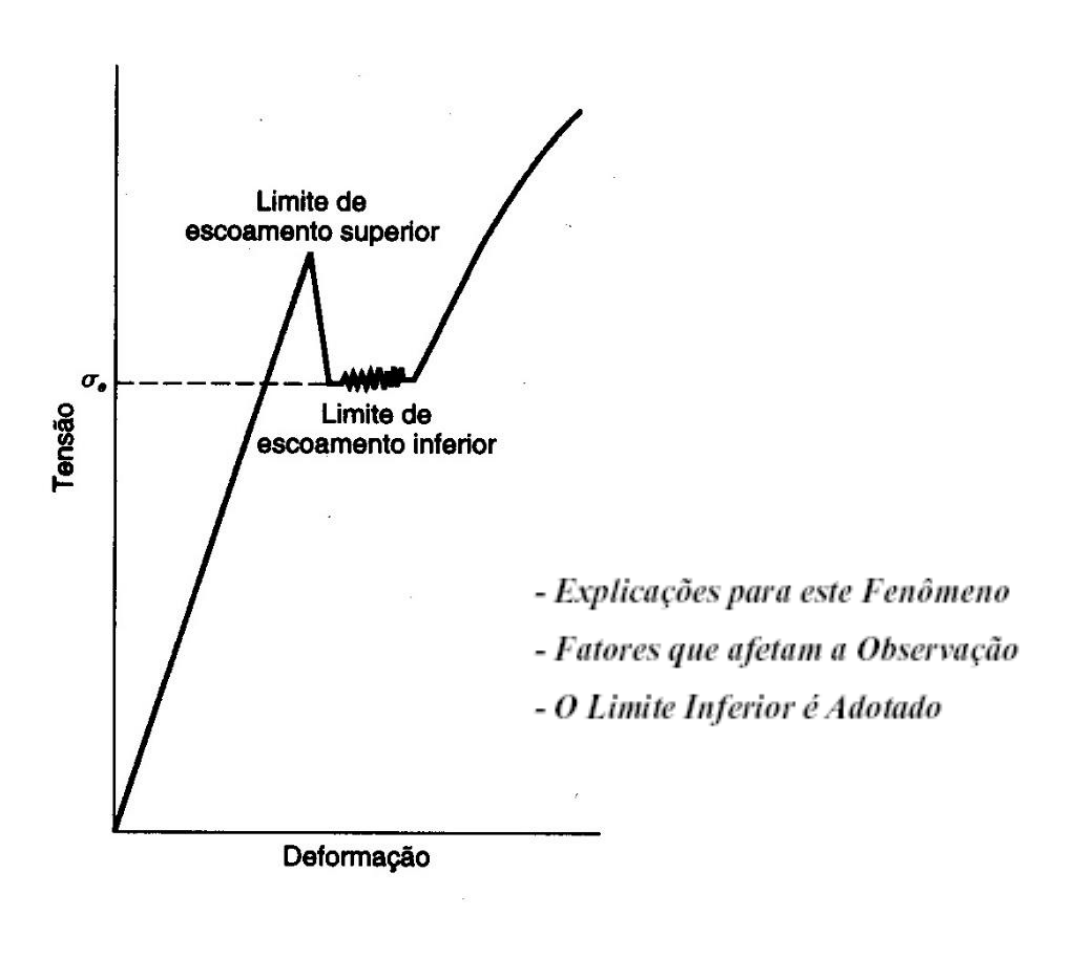




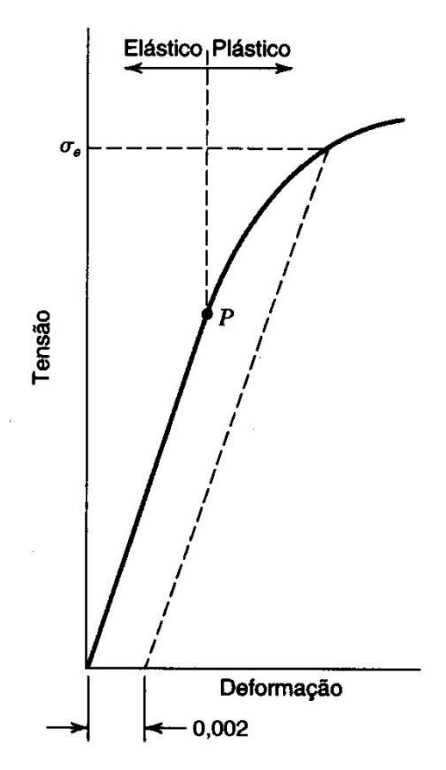
## Determinação do Limite de Escoamento:

- Ocorrência do Patamar de Escoamento
- Limite de Desvio (Offset)



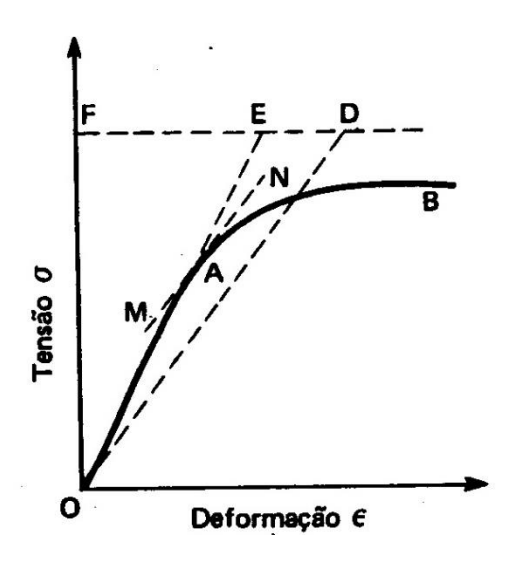


### Método do Deslocamento



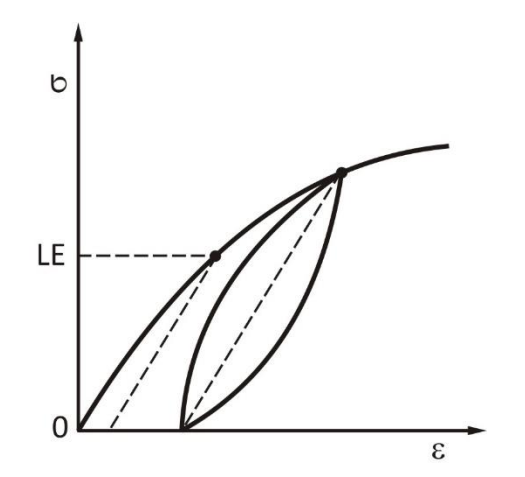
- Deve-se Especificar o Offset
- Geralmente Adota-se 0,2%
- Pode-se usar: 0,01%; 0,1%; 0,5%
- Procedimento Cálculo Numérico

 $\sigma_{D} = ?$ 



Limite Elástico Aparente (Johnson)



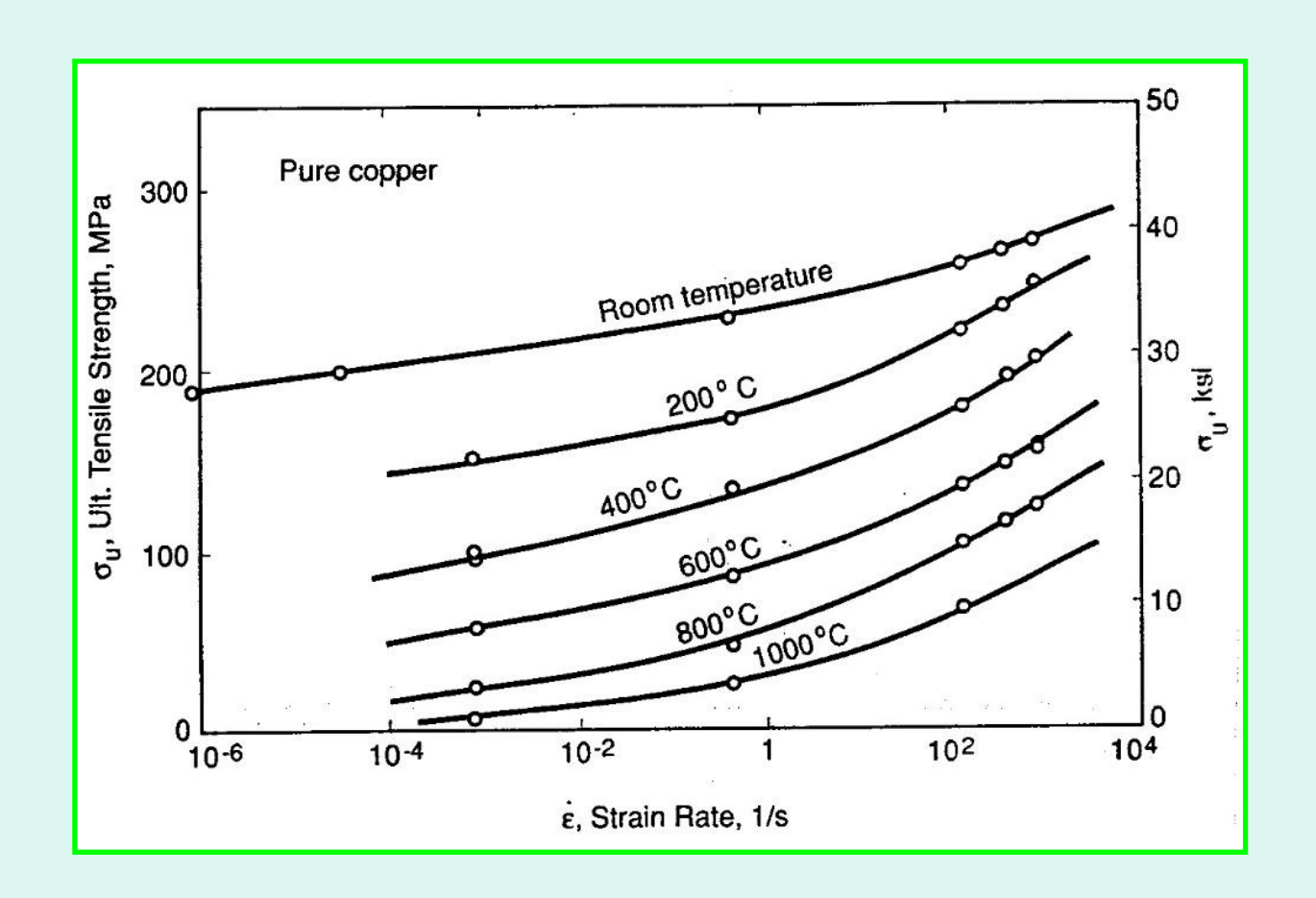


Materiais com Comportamento Não-Linear



## Fatores que afetam a Resistência à Tração:

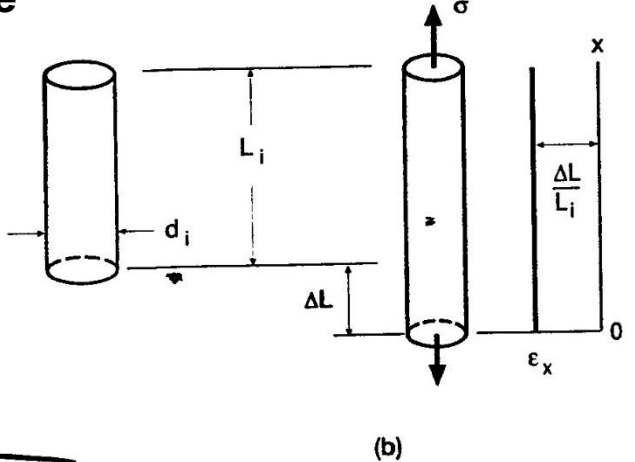
- Taxa de deformação
- Temperatura

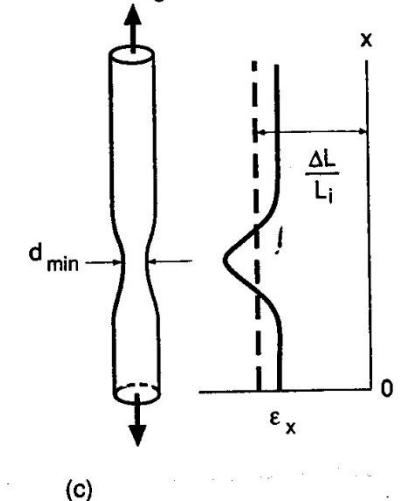


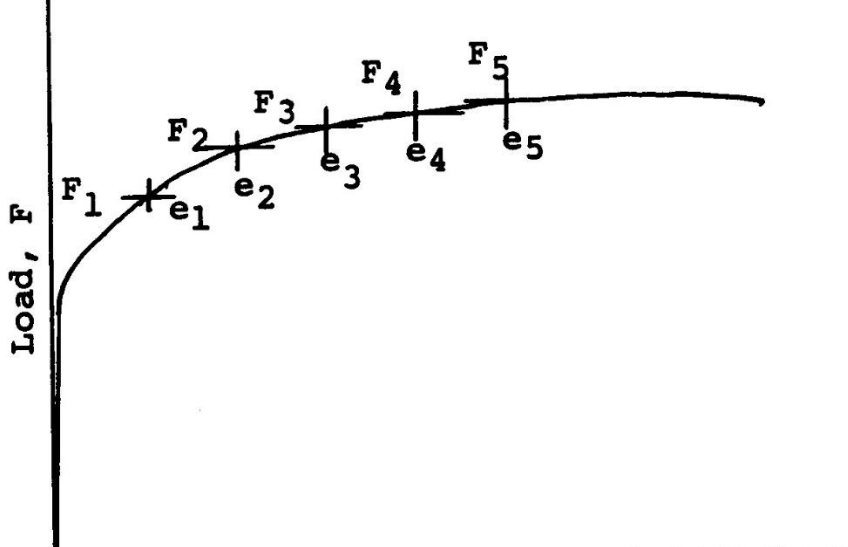
## <u>Curva Tensão-Deformação Verdadeira (ASTM E646):</u>

- Definições de Tensão Real e Deformação Real
- **Hipótese do Volume Constante**
- Limitações das Equações

Obtenção dos pontos a serem utilizados







Engineering Strain, €

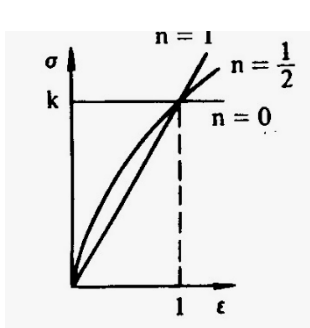


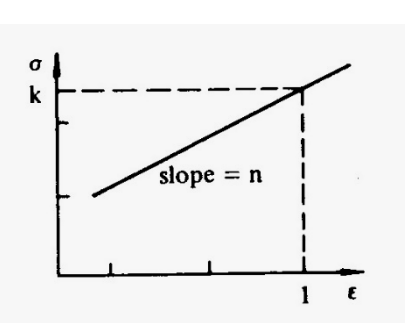




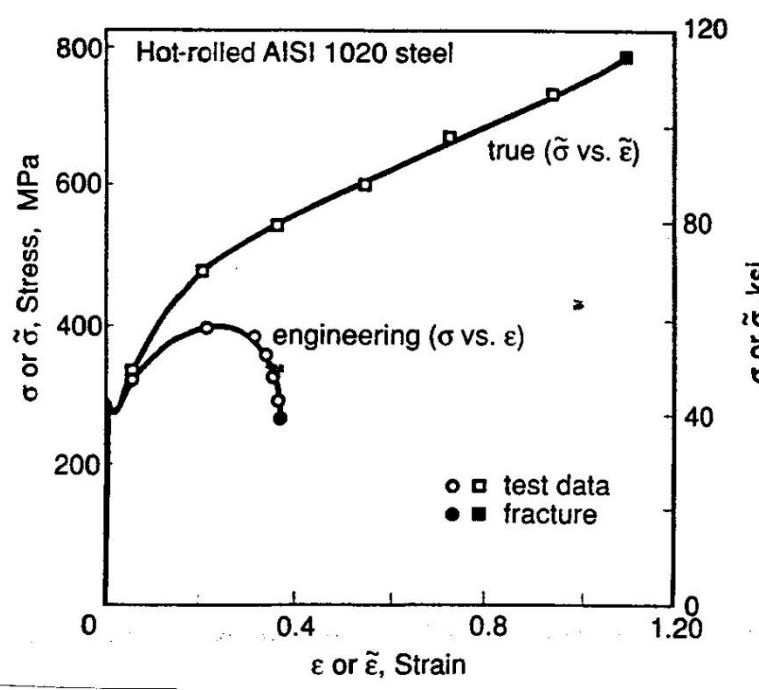
## Curva Tensão-Deformação Verdadeira (continuação):

$$\widetilde{\sigma} = k\widetilde{\varepsilon}^n \longrightarrow \log \widetilde{\sigma} = \log k + n\log \widetilde{\varepsilon}$$

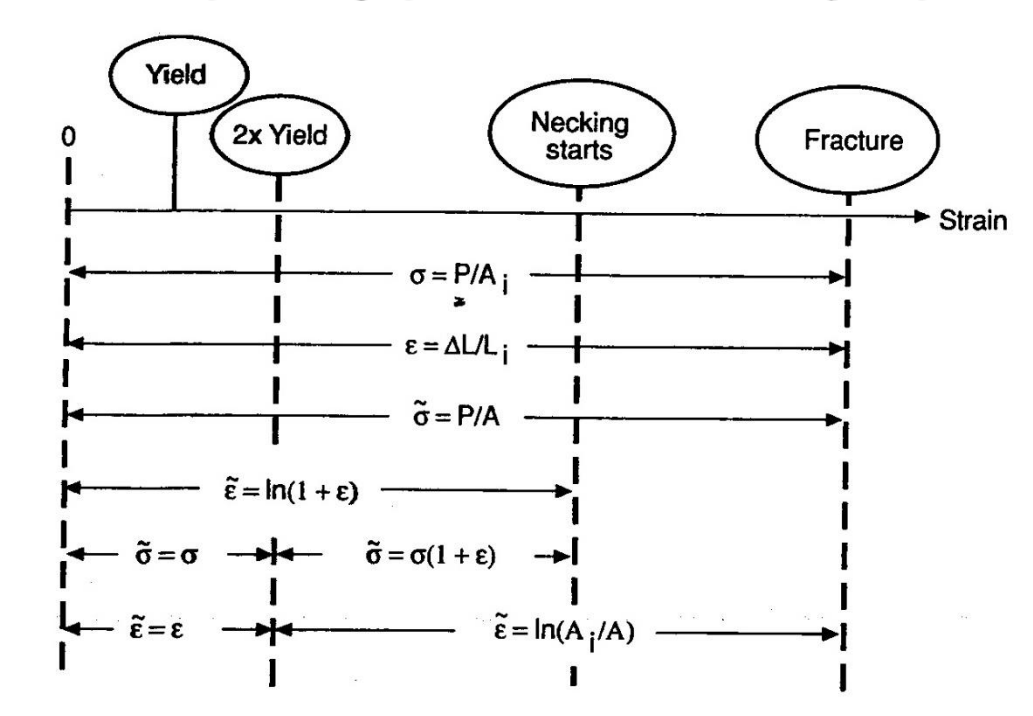




Curvas de tração para o aço 1020

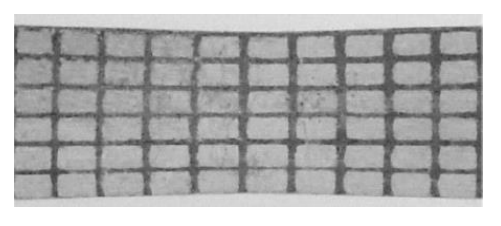


Validade e Limitações das Equações de cálculo de Tensão e Deformação

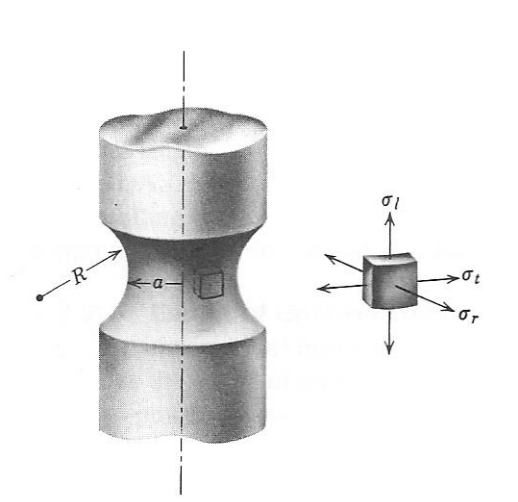


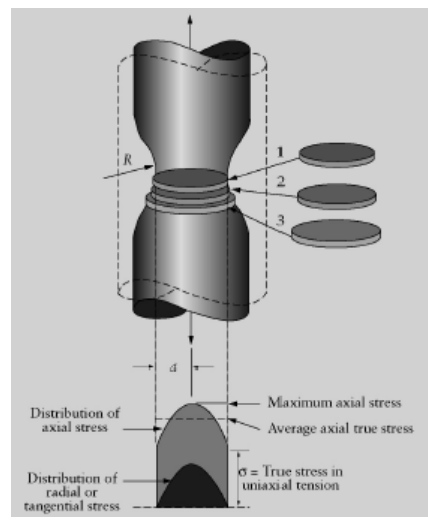
## Instabilidade no pescoço e Correção para grandes deformações:

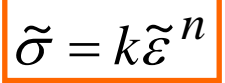












- No início da estricção temos  $\varepsilon = n$ 

Início da Estricção:

$$dP = \tilde{\sigma}dA + Ad\tilde{\sigma} = 0 \rightarrow \frac{d\tilde{\sigma}}{\tilde{\sigma}} = \frac{-dA}{A}$$

Conservação do Volume:

$$dV = AdL + LdA = 0 \rightarrow \frac{-dA}{A} = \frac{dL}{L} = d\tilde{\epsilon}$$

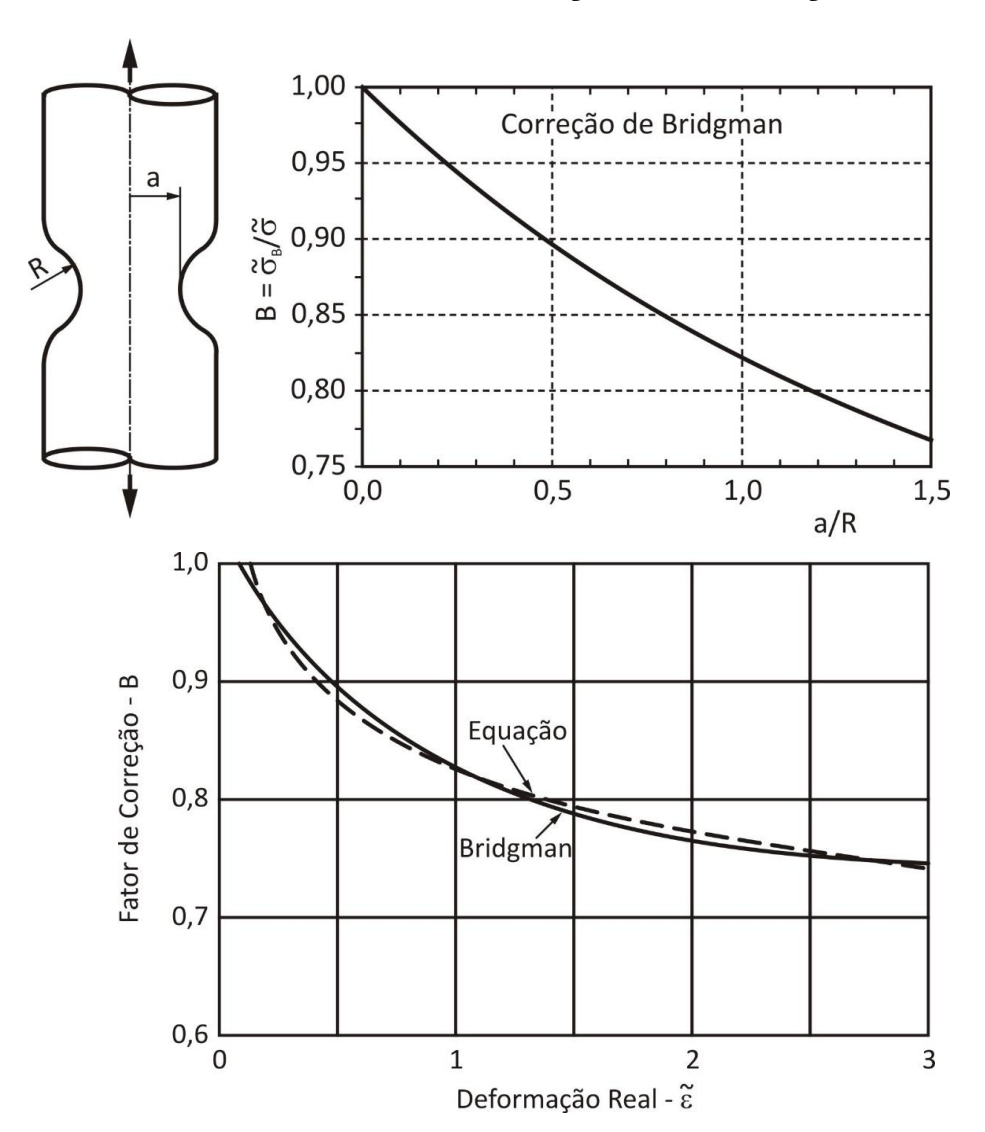
Juntando os dois resultados, vem:

$$dP = 0 \to \frac{d\tilde{\sigma}}{d\tilde{\varepsilon}} = \tilde{\sigma}$$

Aplicando na equação de Hollomon:

$$dP = 0 \to Kn\tilde{\varepsilon}^{n-1} = K\tilde{\varepsilon}^n \to n = \tilde{\varepsilon}$$

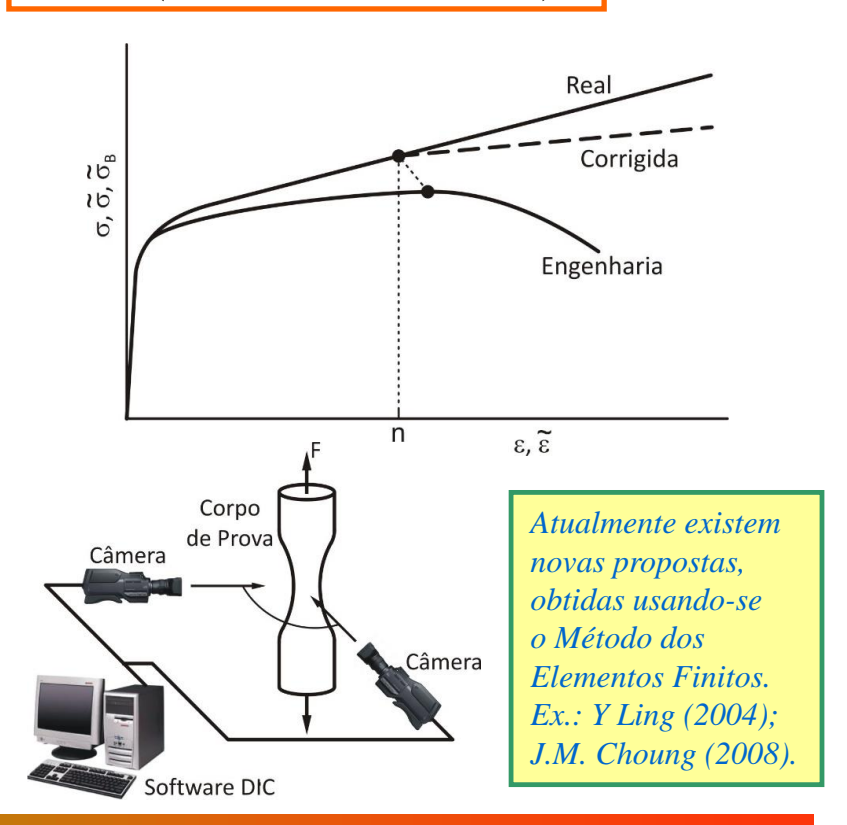
## Instabilidade no pescoço e Correção para grandes deformações:



### - A Correção de Bridgman:

$$\tilde{\sigma}_B = \tilde{\sigma} \cdot \left[ \left( 1 + \frac{2R}{a} \right) ln \left( 1 + \frac{2R}{a} \right) \right]^{-1} = \tilde{\sigma} \cdot B$$

$$\widetilde{\sigma}_B = (0.83 - 0.186 \log \widetilde{\varepsilon})\widetilde{\sigma}$$





Ludwik-Hollomon:

$$\tilde{\sigma} = \sigma_e + k\tilde{\varepsilon}^n$$

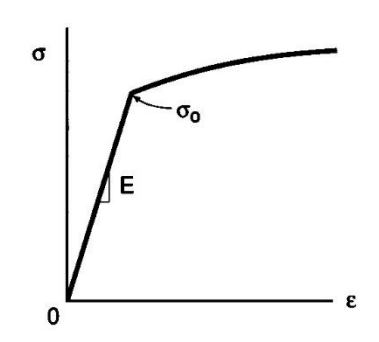
Ramberg-Osgood:  $\tilde{\sigma} = k\tilde{\varepsilon}_{n}^{n}$ 

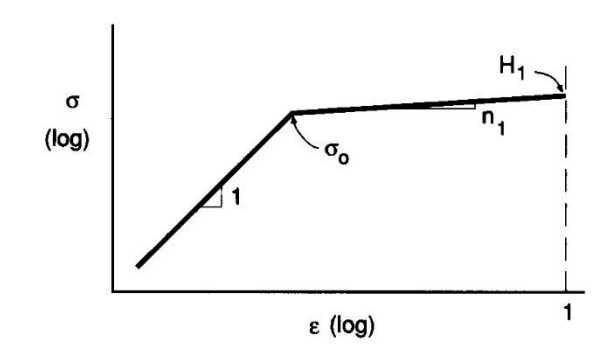
$$\widetilde{\varepsilon} = \widetilde{\varepsilon}_e + \widetilde{\varepsilon}_p = \frac{\widetilde{\sigma}}{E} + \widetilde{\varepsilon}_p$$

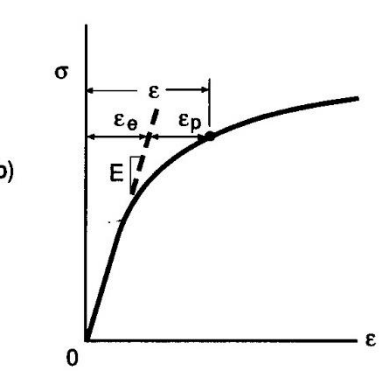
Ludwigson\*:  $\tilde{\sigma} = K_1 \varepsilon^{nl} + \Delta$ 

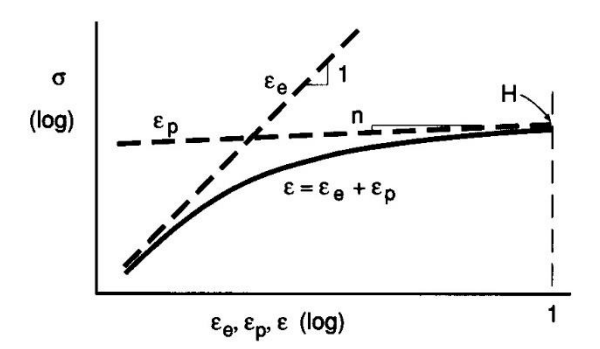
$$\Delta = exp(K_2 + n_2\varepsilon)$$

\* Met. Trans. 2, p.2825, 1971.







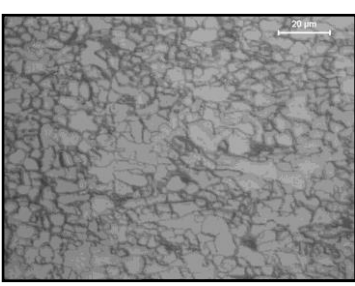


O fato de algumas equações representarem razoavelmente o comportamento tensão-deformação não implica que estas sejam capazes de uma descrição física das curvas, visto que a deformação plástica é um fenômeno complexo, ou seja, a deformação acumulada não está relacionada unicamente com a estrutura de discordâncias do material.

## Efeitos da Microestrutura no Comportamento de Aços:

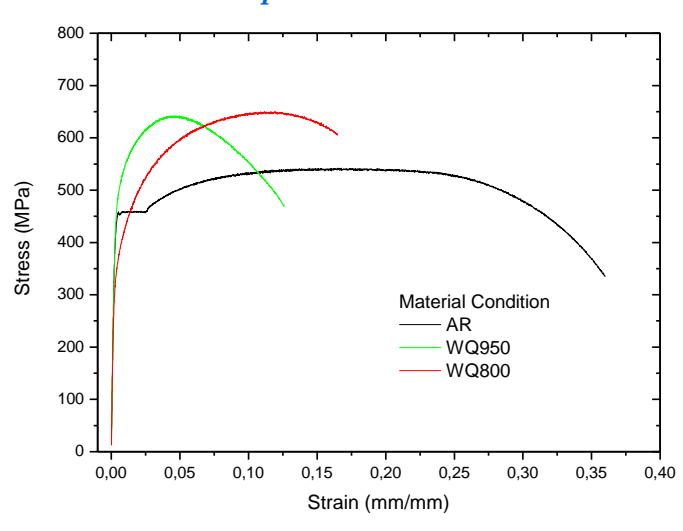




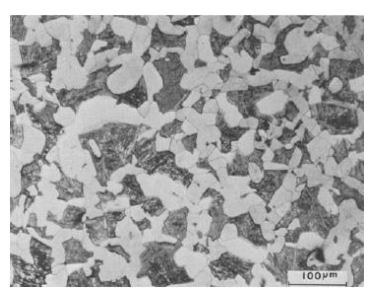


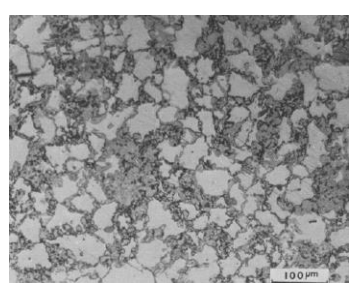


Ex.: Aço microligado submetido a têmpera intercrítica

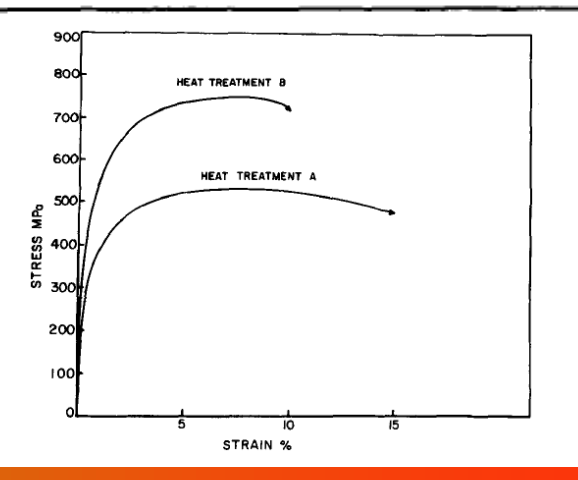


Ex.: Aço SAE 1018, tratamentos térmicos intercríticos (Suzuki & McEvily, 1979)





	Heat Treatment A	Heat Treatment B
Ferrite grain size, µm	3	40
Vol fraction of martensite, pct	36.4	39.2
Ave, size of martensitic structure, µm	149	Not applicable
Connectivity of martensitic structure, pct	34.7	95.4
Microhardness (Vickers) of martensite	565	546
Microhardness (Vickers) of ferrite	148	149



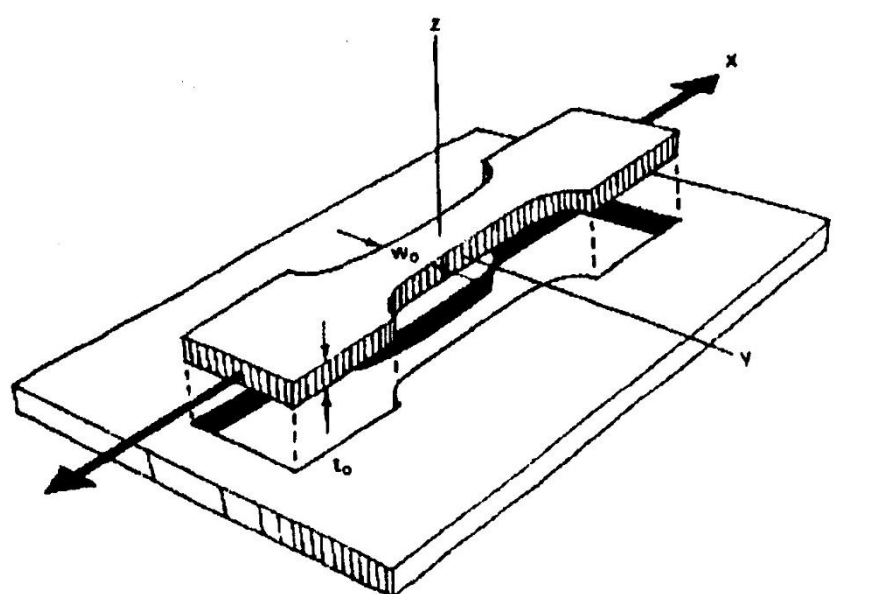
## Anisotropia das Propriedades de Tração:

- Anisotropia Cristalográfica
- Fibramento Mecânico

✓ Coeficiente de Lankford (R)



Ensaio de Embutimento



$$\begin{split} \widetilde{\varepsilon}_L &= ln \bigg( \frac{L}{L_o} \bigg) \\ \widetilde{\varepsilon}_W &= ln \bigg( \frac{W}{W_o} \bigg) \\ \widetilde{\varepsilon}_t &= ln \bigg( \frac{t}{t_o} \bigg) \end{split}$$

Volume Constante:  $\tilde{\varepsilon}_L + \tilde{\varepsilon}_W + \tilde{\varepsilon}_t = 0$ 

Material Isotrópico:

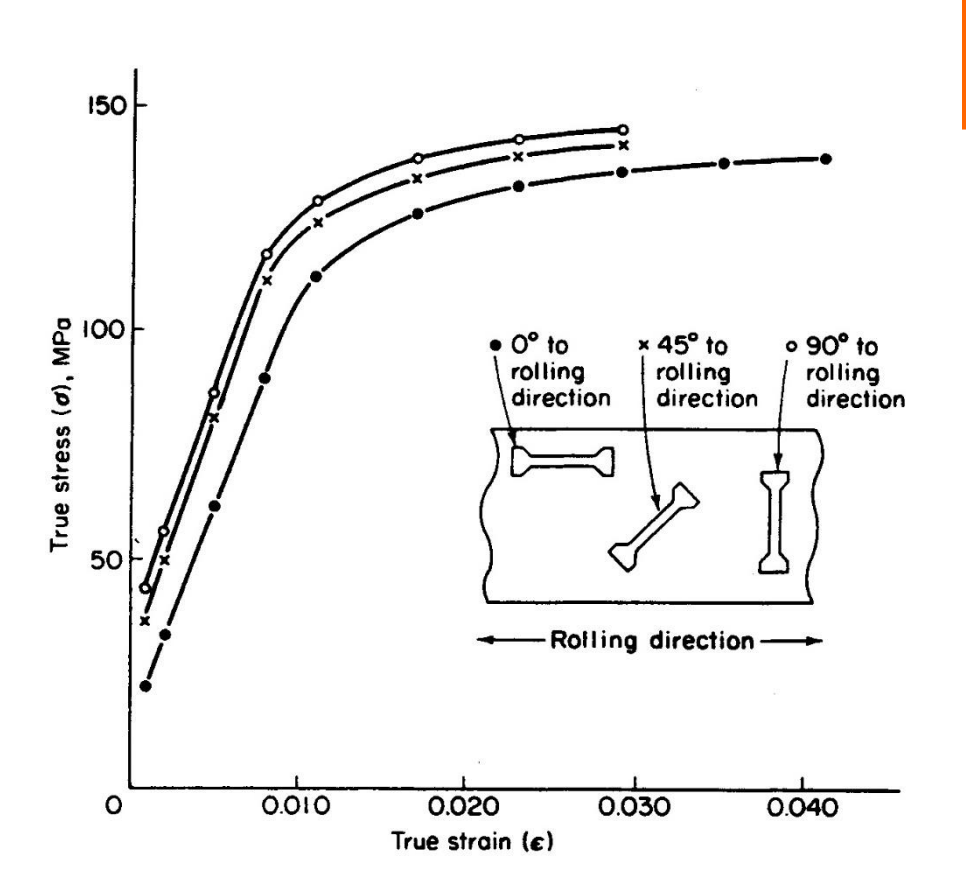
 $\tilde{\varepsilon}_W = \tilde{\varepsilon}_t$ 

Chapas Anisotrópicas:

 $R = \widetilde{\varepsilon}_W / \widetilde{\varepsilon}_t$ 

## М

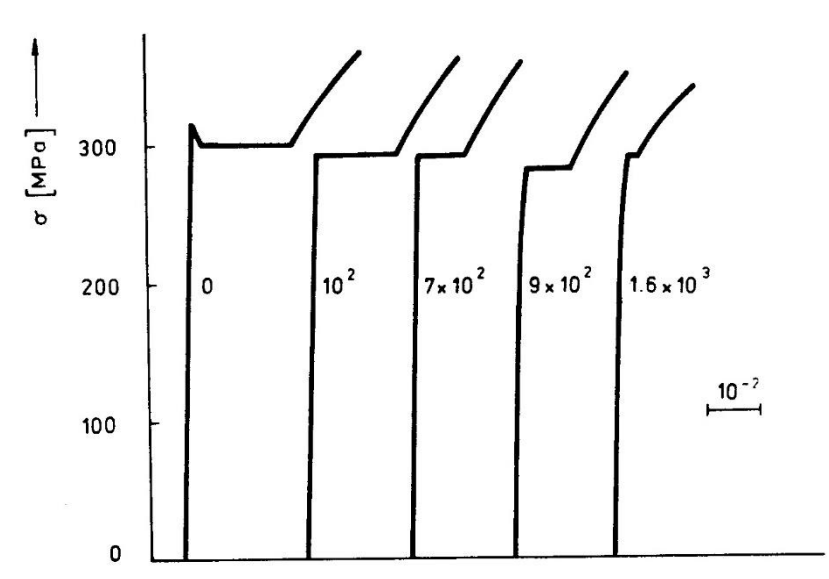
## ✓ Índice de Anisotropia Normal $\overline{R}$



Curvas de tração do alumínio de pureza comercial

$$\overline{R} = \frac{R_{\theta} + 2R_{45} + R_{9\theta}}{4}$$

## Curvas de Tração após Aplicação de Tensões Cíclicas:



Eliminação gradual do patamar com tensão cíclica no regime elástico





